

## توجيه بعض المؤشرات البيوميكانيكية لمرحلة الطيران والهبوط كأساس لارتفاع لاعبي الوثب الطويل

د/ مريم ثروت محمد مصطفى

مدرس بقسم مسابقات الميدان والمضمار - جامعة الزقازيق

### مقدمة ومشكلة البحث:

إن مسابقات الميدان والمضمار قد حظيت بنصيب كبير في تحطيم الأرقام القياسية رغم صعوبة ذلك على المستوى العالمي، إلا أن الأرقام المصرية في مسابقات الميدان والمضمار ثابتة بل وازدادت الفجوة بينها وبين الأرقام القياسية العالمية؛ حيث يعد الوثب الطويل أحد مسابقات الميدان والمضمار التي تأثرت بهذا التطور على المستوى العالمي والأولمبي. (٣: ٢)

يشير كلاً من ويلز ولوتجن Simonian, Wells, Luttgens (١٩٧٦م)، وسيمونين (١٩٨١م) أن التحليل البيوميكانيكي للأداء يعد الوسيلة الموضوعية لتقدير الأداء المهارى فى العديد من الأنشطة الرياضية وبخاصة ما يتسم منها بالسرعة مثل حركات الرمى والوثب، حيث يعتمد فى ذلك على مجموعة من المحددات البيوميكانية مثل (الإزاحة - العجلة - القوة - السرعة). (١٧: ٢٣٩)، (١٣: ٢٣٢)

ويرى أشرف عبد الحافظ (٢٠٠٢م) أن مرحلة الطيران تعتمد بصفة أساسية على مرحلة الارتفاع والتي تعتبر من أهم مراحل الأداء الفني وذلك من أجل إكساب مركز ثقل الجسم أعلى سرعة طيران ممكنته خلال (٠,١٠ إلى ٠,١٣) وبذلك تلعب سرعة وزاوية الارتفاع وكذلك ارتفاع مركز الثقل لحظة الارتفاع دورا حاسما في مستوى الوثب. (٢: ١٢)

وأشار بسطوسيي أحمد (١٩٩٧م) أن مرحلة الطيران تبدأ منذ لحظة ترك قدم المتسابق الأرض وتنتهي بهبوط القدمين في حفرة الرمل، كما أشار إلى أن الغرض من هذه المرحلة هو الإحتفاظ بتوازن الجسم وأخذ مركز الثقل مساره الحركي الصحيح والإعداد لهبوط اقتصادي وجيد. (٤: ١٢٢)

ويشير احمد محمد ابراهيم (٢٠٠٤م) أن مرحلة الطيران تتضمن مراحلتين للحركة الأولى "الحركة السلبية لمركز ثقل كتلته جسم الناشئ في الهواء وتمتد لحظة بداية ترك قدم الارتفاع للوحة وحتى لحظة وصول نقطة مركز الثقل إلى أعلى وضع لها، ويتميز العمل العضلي خلالها في دفع الحوض للأمام والميل الخفيف للخلف لكي يتغلب على تأثير عزم الدوران السالب والمضاد لاتجاه الحركة المكتسبة من نهاية لحظة الارتفاع"، الثانية "الحركة الإيجابية لمركز ثقل كتله الجسم في الهواء وتمتد من لحظة بلوغ نقطة أعلى وضع لها في قوس الطيران وحتى نقطة الهبوط، حيث يتم توجيه عزم الدوران في اتجاه الحركة". (١: ٢١)

ويذكر "روجرز، جوزيف" Rogers, Joseph L. (٢٠٠٠م) أنه من أجل هبوط فعال، تتمد الرجلين مع دفع الذراعين لأسفل نحو الأرض، تؤدي حركة الذراعين هذه لرفع الساقين نحو الجذع، وبالتالي فإن عمل الذراعين يتسبب في رد فعل مساوى ومعاكس للرجلين. بمجرد أن يلامس متسابق الوثب الرمال، تتحني الركبتين وتتناثي لتخفف الصدمة. بالإضافة إلى ذلك، فإن الذراعين يتم جلبهم للأمام لتساعد في القوة الدافعة للمتسابق ولتجنب الوقوع للخلف. وبهذا فإن حدوث خلل أثناء الهبوط فمصدر المشكلة مرحلتي الاقتراب والارتفاع. (١٤٧ : ١٢)

وقد اشار ولكر Walker (١٩٩٢م) إلى أن عملية الإعداد للهبوط تبدأ عندما يصل المتسابق إلى أعلى نقطة في منحنى الطيران، حيث أن تحقيق المسار المثالي لمركز الثقل وبالشكل الذي يجعل الهبوط في الوقت المناسب، هو إطار مسار طيرانه أكثر ما يمكن لتحقيق أطول مسافة أفقية ممكنة بين كعبي المتسابق أثناء ملامستها للحفرة ومركز الثقل. (١٦ : ٨٧)

يذكر صدقي أحمد (٢٠١٤م) أن الإنقاء الرياضي عمليه في غايه الصعوبه نظرا لأن المدرب عليه أن يتتبأ للطفل بقدرته الرياضيه المستقبلية التي لم تظهر بعد في الوقت الحالي وحيث أن الإنقاء عمليه مركبه لها جوانبها المختلفه (البدنيه والمورفولوجي والفيسيولوجي والنفسيه) فإنه من الضروري مراعاه الأساس العلميه المختلفه لكافة تلك الجوانب عند تنظيم وإجراء عمليه الإنقاء كما يرى أن عملية الإنقاء في العاب القوى تهدف إلى محاوله اختيار أفضل العناصر بعرض الوصول إلى المستويات الرقميه العاليه حيث أن وصول الرياضي للمستويات الرقميه العاليه لا يعتمد فقط على تنفيذ البرامج التدريبيه الموضوعه على أساس علميه سليمه ولكن على ربط ذلك بالخصائص الجسميه والقدرات البدنيه والسمات النفسيه للرياضيين إذ أن تلك الخصائص والقدرات والسمات الفردية يمكن من خلالها توجيهها والعنایه بها لتحقيق الأهداف العامه لعمليه الإنقاء فضلا عن توجيه الرياضي إلى المسابقه الملائمه التي تتفق والخصائص المميزه له لذا يجب توظيف نظرية الإنقاء لإختيار أفضل العناصر للعمل معهم لفتره طويله قد تصل إلى أكثر من ١٠ سنوات متواصله من التدريب الشاق. (٦ : ٧)

يعد المجال الرياضي واحداً من المجالات التي شهدت تطوراً كبيراً في سرعة تسجيل الأرقام القياسية العالمية مع سرعة تحطيمها وارتفاع مستويات الاداء الرياضي بشكل مذهل فتح الباب امام اهمية الإنقاء الرياضي ليكون مادة تهدف الى بناء قاعدة قوية ينطلق منها الناشئين واللاعبين نحو الانجاز والتفوق الرياضي. وانقاء الموهوبين لا يقتصر على مرحلة واحدة فقط بل هو بداية عملية متصلة تمر بمراحل عديدة تنتهي بتحقيق الانجاز الرياضي على مستوى عالي، ويعتمد بشكل اساسي على التعبوء العلمي المدروس لما سيكون عليه اللاعب من مستوى بدني في مرحلة الانجاز ويعتبر الانجاز الرياضي دليلاً للمدرب على الإنقاء كما يسمح له بالتعرف على المواصفات المثالية المنتظرة من خلال مقارنته بأوصاف الأبطال الحاليين مع ملاحظة سد الثغرات التي قد يعاني منها البطل الحالي مما يجعل مستوى الناشيء افضل من مستوى البطل الحالي ومن هنا وجدت الباحثة ضرورة إلقاء الضوء على الأساس المستخدم في إنقاء اللاعبين خطوة اولى في سبيل بناء قاعدة متميزة من الأبطال العالميين على أن يتم الإنقاء وفقاً للأساس البيوميكانيكي

والبدني ومن هنا تكمن أهمية البحث حيث ترى الباحثه أن التحليل البيوميكانيكي هو أفضل الطرق وأنسابها للحصول على بيانات دقيقة وموضوعية بتقدير كمي دقيق لمتغيرات الأداء الميكانيكية عن طريق قيم رقمية تدل على ما يمتلكه اللاعب من هذه المتغيرات لذا تظهر أهمية توظيف تلك المتغيرات الميكانيكية، حتى تساهم في الإرتقاء بمستوى الأداء الفنى والمستوى الرقمى للاعبين وذلك عن طريق التعرف على أهم المؤشرات البيوميكانيكية التى تحكم الأداء وتنتفق مع النواحي الفنية لمسابقة الوثب الطويل من خلال التعرف على المحددات البيوميكانيكية لكيفية إنتقاء اللاعبين وتأهيلهم بعد ذلك لبطولات العالم هذا فقد رأت الباحثة أنه من الواجب أن يتم التشخيص العلمي للحركة بمستواها العالى متمثلة في لاعبي المنتخب للوثب الطويل وذلك من خلال تحليل أداء اللاعبين ووضع محددات بيوميكانيكية كحجر أساس للمدربين لإنتقاء اللاعبين والتتبؤ بمستوياتهم للإرتقاء بمستوى الأداء ومستوى الانجاز الرقمي ومحاولة الوصول للأداء النموذجي حيث تستخدم المؤشرات البيوميكانيكية كمؤشرات لفعالية الانجاز وفي حدود ما اطلعت عليه من دراسات ومراجع تكمن مشكلة البحث ايضا في ضعف المستوى الرقمي للاعبى الوثب الطويل بالأندية ومرانز الشباب المختلفة على مستوى جمهورية مصر العربية بالمقارنة بالمستوى العالمي والدولى والأوليمبى ولذلك وجدت الباحثة ضرورة التعرف على بعض المؤشرات البيوميكانيكية المرتبطة بمرحلة الطيران والهبوط للاعبات المنتخب في الوثب الطويل، ومحاولة تشخيص نقاط القصور والقوة خلال مرحلة الطيران والهبوط بهدف تطوير المستوى الرقمي للاعبات المنتخب.

### **أهداف البحث:**

#### **يهدف البحث إلى محاولة التعرف على:**

- ١- التعرف على أهم العلاقات الارتباطيه بين بعض المؤشرات البيوميكانيكية والمستوى الرقمي للاعبى الوثب الطويل فى مرحلة الطيران والهبوط.
- ٢- التعرف على نسب المساهمه لبعض المؤشرات البيوميكانيكية للاعبى الوثب الطويل فى مرحلة الطيران والهبوط.
- ٣- التوصل الى معادلات رياضية إحصائية تتبعه يمكن من خلالها التنبؤ بالمستوى الرقمي لإنتقاء لاعبى الوثب الطويل فى مرحلة الطيران والهبوط.

### **تساؤلات البحث:**

- ١- هل توجد علاقة ارتباطية بين بعض المؤشرات البيوميكانيكية والمستوى الرقمي للاعبى الوثب الطويل فى مرحلة الطيران والهبوط ؟
- ٢- هل توجد فروق ذات دلالة إحصائية لبعض المؤشرات البيوميكانيكية للاعبى الوثب الطويل فى مرحلة الطيران والهبوط ؟
- ٣- هل يمكن التوصل إلى معادلات رياضية إحصائية تتبعه يمكن من خلالها التنبؤ بالمستوى الرقمي لإنتقاء لاعبى الوثب الطويل فى مرحلة الطيران والهبوط ؟

## الدراسات المرتبطة:

- ١- دراسة دينا صلاح الدين محمد (٢٠١٩م) (٥) دراسه بعنوان "المؤشرات الميكانيكيه على لوحة الإرتفاع لأبطال مصر في الوثب الطويل رجال" بهدف التعرف على الفروق في بعض المؤشرات الميكانيكيه على لوحة الإرتفاع والمستوى الرقمي وتشخيص نقاط القصور والقوه في أفراد عينة البحث وأستخدمنت الباحثه المنهج الوصفي على (٦) لاعبين من أفضل لاعبين الوثب الطويل لفرق القوميه وتوصلت الباحثه إلى أنه يمكن الاعتماد علي المتغيرات التالية (المسافة الأفقية من الوضع العمودي وحتى لحظة قبل الترك، زاوية الارتفاع لحظة قبل الترك، فقد السرعة، زاوية الفخذ في لحظة وضع القدم، زاوية الركبة في الخروج، زاوية رسم القدم في لحظة وضع القدم) كمؤشر لأداء اللاعبين في مرحلة الارتفاع في الوثب الطويل علي اعتبار أن أفراد العينة تمثل أفضل اللاعبين رقمياً في الوثب الطويل في مصر.
- ٢- دراسة محمد أحمد رمزي بدران (٢٠١١م) (٩) بعنوان "التنبؤ بمستوى الإنجاز الرقمي لمسابقة الوثب الطويل في ضوء بعض المؤشرات البيوميكانيكية" تهدف إلى التعرف على القيم الكمية للمتغيرات الميكانيكية المؤثرة في المستويات الرقمية العليا لمسابقة الوثب الطويل، ودراسة العلاقات الارتباطية بين المتغيرات الميكانيكية والمستوى الرقمي لمسابقة الوثب الطويل ووضع معدلات التنبؤ بالمستوى الرقمي لمسابقة الوثب الطويل بمعلومية بعض المتغيرات الميكانيكية وقد إستخدم الباحث المنهج الوصفي على (٧) لاعبين الفائزين بالمراتب السبعة الأولى في بطولة العالم الثالثة لألعاب القوة باليابان وكانت أهم النتائج (التوصل إلى قيم كمية لمجموعة متغيرات ميكانيكية من صفة لاعبي العالم في مسابقة الوثب الطويل أو وجود علاقة ارتباطية دالة إحصائيًا بين بعض المتغيرات الميكانيكية وبين المستوى الرقمي لمسابقة الوثب الطويل وقد أمكن التوصل إلى (٦) متغيرات ميكانيكية تساهمن في المستوى الرقمي).
- ٣- دراسة عبد القادر السيد مصطفى عوض (٢٠٠٩م) (٨) بعنوان "المؤشرات البيوميكانيكيه كdaleh لوضع تمرينات نوعيه لمهارة الوثب الطويل" تهدف إلى التعرف على أهم المؤشرات البيوميكانيكيه المؤثرة في المسار الحركي لمهارة الوثب الطويل وأهم المؤشرات البيوميكانيكيه لمجموعة من التمرينات النوعية الخاصة بمهارة الوثب الطويل وتحديد أكثر التمرينات النوعية المقترنة ارتباطاً من حيث التركيب الديناميكي بمهارة الوثب الطويل وقد إستخدم الباحث المنهج الوصفي على لاعبي المنتخب المصري لألعاب القوى وضمن لاعبي النادي الاهلي وتمأخذ أفضل محاوله وكانت أهم النتائج (التعرف على أهم المؤشرات البيوميكانيكية المؤثرة في المسار الحركي لمهارة الوثب الطويل - التعرف على أهم المؤشرات البيوميكانيكية لمجموعة من التمرينات النوعية الخاصة بمهارة الوثب الطويل).
- ٤- أجرى كاثرين تاكر وأخرون Catherine Tucker et al (٢٠١٨م) (١٠) دراسه "عنوان التحليل البيوميكانيكي للوثب الطويل رجال لبطولة العالم بلندن ٢٠١٧م" بهدف التعرف على الخصائص البيوميكانيكيه الخاصة بالمتناقضين المشاركون ببطولة العالم ٢٠١٧م استخدم الباحث المنهج الوصفي وشملت عينة الدراسة (١٢) متناقض المشاركون في بطولة العالم ٢٠١٧ وكانت أهم النتائج تشير إلى ان الخطوة ما قبل الأخيرة أطول وخطوة أخيرة أقصر للتحضير للارتفاع في الخطوة الأخيرة، كان هناك انخفاض متوسط في طول الخطوة بنسبة ٩٪. كان أكبر انخفاض في طول الخطوة بنسبة ١٩٪ للخطوة الأخيرة. كما تراوحت السرعة (٩١-٩١٠،٨٢م/ث). وقصر زمن الارتفاع تراوح (١٣٠-١٢٠،٠ث).

**خطة وإجراءات البحث:****منهج البحث:**

استخدمت الباحثة المنهج الوصفي، وذلك بالاستعانة بالتصوير بالفيديو على السرعه تحليل ثلاثي الإبعاد.

**مجتمع وعينة البحث:**

تمثل مجتمع البحث من ٢٠ لاعبه وثب طويل من لاعبات منتخب مصر والمسجلين بالإتحاد المصري للألعاب القوى.

**عينة البحث:**

تم اختيار عينة البحث بالطريقة العدمية من لاعبات النادي الأهلي المسجلين بالإتحاد المصري للألعاب القوى وهن (٥) لاعبات ضمن لاعبات المنتخب الوطني، وقد أدت كل لاعبة (٣) محاولات وتم اختيار أفضل المحاولات وفقاً للمستوى الرقمي، وقد بلغ إجمالي عدد المحاولات (٩) محاولات وهي التي خضعت للمعالجات الإحصائية.

**المجال المكاني:**

ميدان ومضمار المركز الأوليمبي بالمعادى بالقاهره.

**المجال الزمني:**

تم إجراء الدراسات الإستطلاعية وجميع قياسات البحث الخاصه بمسابقة الوثب الطويل في يوم الأربعاء الموافق ٤ / ١ / ٢٠٢٣ .

**جدول (١)**  
**البيانات الخاصة بعينة البحث**

| الاسم       | الوزن | الطول   | الرقم القياسي | العمر الزمني |
|-------------|-------|---------|---------------|--------------|
| إسراء سمير  | ٦٦٥   | ١,٧٠ سم | ٦,٦٨          | ٢٥           |
| حبيبه أشرف  | ٥٥٧   | ١,٦٨ سم | ٥,٦١          | ٢١           |
| ياسمين أشرف | ٦٧٢   | ١,٨٠ سم | ٥,٣٥          | ٢٠           |
| ميسرة رافت  | ٥٥٩   | ١,٦٥ سم | ٥,٠٤          | ١٩           |
| ملك مصطفى   | ٥٥٥   | ١,٦٣ سم | ٤,٨٠          | ١٧           |

**جدول (٢)**  
**التوصيف الاحصائي للعينة قيد البحث**

| متغيرات النمو  | المتوسط | الإنحراف المعياري | الوسيط | معامل الإلتواء |
|----------------|---------|-------------------|--------|----------------|
| الارتفاع       | ١.٧٢    | ١.٢               | ١.٦٨   | ٠.٠٢٥-         |
| الوزن          | ٦١.٦    | ٤.٨٢              | ٦٠     | ٠.٩٩٥          |
| العمر الزمني   | ٢٠.٤    | ١.٦٥              | ٢٠.٢   | ٠.٣٦٣          |
| العمر التدريبي | ٥.٣٣    | ٢.٧٤              | ٥      | ٠.٣٦١          |
| المستوى الرقمي | ٥.٤٩    | ١.٢               | ٥.٤٧   | ٠.٠٥           |

يتضح من الجدول رقم (٢) ان جميع أفراد العينه تقع تحت المنحنى الاعتدالى حيث تراوحت قيم معامل الإلتواء ما بين ٠.٣٦١ و ٠.٠٢٥-. أى أنها محصوره ما بين  $\pm 3$  مما يدل على تجانس عينة البحث المختاره.

**أجهزة وأدوات البحث:**

- عدد ٥ كاميرات ديجيتال ١٢٠ كادر/ث نوع الكاميرا PRO G.- ٥ حامل كاميرات.
- برنامج خاص بالتحليل الحركي (V 7.5). SIMI Motion.
- حفرة وثب قانونية.
- شريط قياس الطول والوزن.
- جهاز كمبيوتر مزود ببرنامج للتحليل الحركي.
- صندوق للمعايره
- ميدان وثب طويل مجهز بالمركز الأوليمبي بالمعادي.
- استماراة تجميع البيانات الخاصة بالعينة كنواحي إجرائية.

**الدراسة الأساسية:**

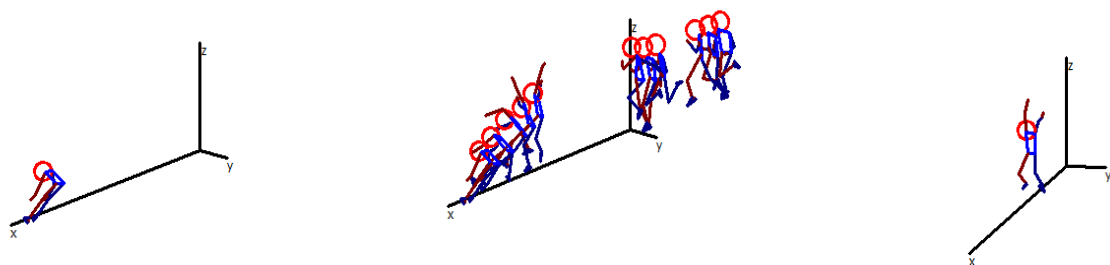
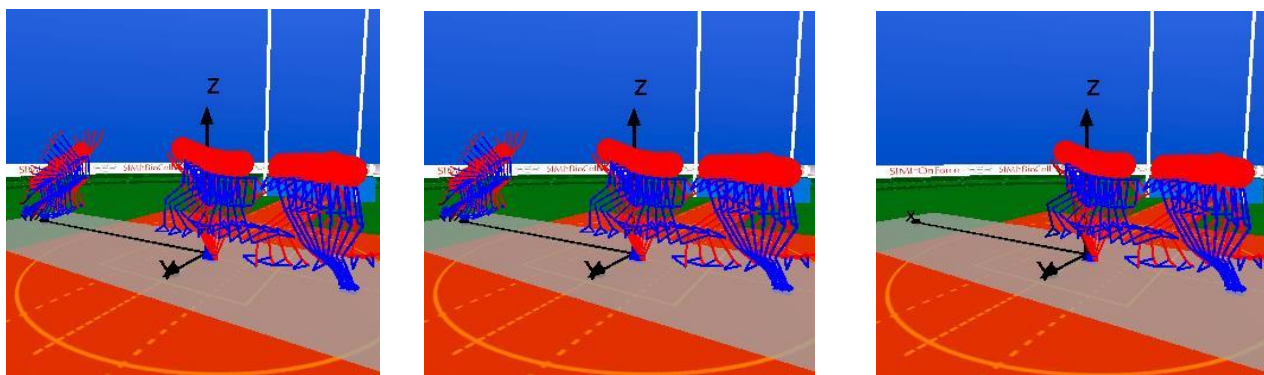
بعد أن حققت الدراسة الإستطلاعية أهدافها وتمكنت الباحثه من معرفة المشكلات التي من الممكن أن تواجهها ، وأمكنها التغلب عليها في حدود الإمكانيات المتاحة وتوصلت إلى الإجراءات النهائية للتصوير ، قامت الباحثه بإجراء الدراسة الأساسية لعينة البحث يوم الثلاثاء الموافق ١ / ١٠ / ٢٠٢٣ م

**إجراءات التصوير:**

تم التصوير بإستاد المركز الأوليمبي بالمعادي وتمأخذ الموافقه من المركز الأوليمبي للموافقة بدخول الكاميرات وإجراء التصوير فالملعب مرفق رقم (١) وتم التصوير على عدد (٥) كاميرا من نفس النوع وسرعة التردد (١٢٠) كادر/ثانية وتم وضع كاميرا (١) (٢) على بعد ٧ م على جانبي حفرة الوثب وإرتفاع ٩٠ سم وبزاویه ٩٠ درجه وكاميرا (٣) (٤) على بعد ٩ م على جانبی حفرة الوثب وبارتفاع ٩٠ سم وبزاویة ٤٥ درجه وكاميرا (٥) على بعد ١١ م من لوحة الإرقاء وبارتفاع ٩٠ سم وبزاویه ٩٠ درجه مع وضع مکعب معاييره قياس ٢م × ١م × ١م، بالإضافة إلى كاميرا لتصوير المسافة كاملة لتحديد مسافة الوثب لتأكيد شكل القياس وتوثيق التصوير كاملا. وكذلك وضع بعض العلامات الإرشادية أثناء التصوير، وتم التأكد من التزامن بين الكاميرات قبل بدء التصوير، وذلك بإستخدام وحدة التحكم عن بعد (ريموت كنترول) لتشغيل الكاميرات في نفس الوقت.

**تعيين المتغيرات البيوميكانيكيه الخاصة بالوثب الطويل:**

تم إستخدام برنامج (V 7.5) SIMI MOTION لتحديد وإستخراج المتغيرات البيوميكانيكيه لعينة البحث الخاصة بمرحلة الإرقاء والطيران وتم اختيار (لحظه أقصى إرتفاع للجسم ولحظة الهبوط) وتوضح الأشكال العصويه التاليه اللحظات المختاره وتم اختيار المتغيرات الخطيه لمركز ثقل الجسم العام وهي (الإزاحات والسرعات والزوايا) وذلك حيث ان الجسم يعامل معاملة المقدوفات.



### المعالجة الإحصائية:

استخدمت الباحثة مجموعة من المعالجات الإحصائية حتى يتسعى لها إستخراج النتائج المناسبة مستخدمة برنامج (SPSS) إصدار (١٩) على الحاسب الآلي، وقد تضمنت خطة المعالجات الإحصائية ما يلى:

- معامل الارتباط
- تحليل الإنحدار المتعدد مستخدمه معادلة خط الإنحدار التنبؤية.

**التحليل المنطقي للانحدار** مستخدمه معادلة خط الانحدار التنبؤية وهى:

$$Y = a + bx$$

= المقدار الثابت (a) = المستوي الرقمي لمسابقة الوثب الطويل (y)

= المتوسط الحسابي (X) = معامل الإنحدار (b)

## عرض ومناقشة النتائج:

جدول (٣)

مصفوفة أعلى المعاملات الارتباطاً بين المتغيرات البيوميكانيكية والمستوى الرقمي خلال لحظة أقصى ارتفاع

ن = ٩

| ترتيب المؤشر | معامل الارتباط | الانحراف المعياري | المتوسط الحسابي | أسم المؤشر                                 |
|--------------|----------------|-------------------|-----------------|--|
| الاول        | ٠,٩٠٧          | ٠,٣١٥             | ٠,٦٩٩           | الازاحة العرضية للقدم اليسرى               |
| الثاني       | ٠,٨٨٣          | ٠,٢٩٤             | ٠,٦٤٧           | الازاحة العرضية للساقي اليسرى              |
| الثالث       | ٠,٨٢٥          | ٠,٢٩٤             | ٠,٦٣١           | الازاحة العرضية للفخذ اليسرى               |
| الرابع       | ٠,٨١١          | ٠,٣٠٦             | ٠,٤٤٢           | الازاحة العرضية للساعدي اليسرى             |
| الخامس       | ٠,٨٠١          | ٠,٣٤٠             | ٠,٩٢٤           | الازاحة العرضية للفخذ اليمين               |
| السادس       | ٠,٧٩٧          | ٠,٣١٢             | ٠,٧٤٦           | الازاحة العرضية لمراكز الثقل العام         |
| السابع       | ٠,٧٩٦          | ٠,٣٠٧             | ٠,٣٨٥           | الازاحة العرضية لمراكز الثقل الكف اليسرى   |
| الثامن       | ٠,٧٩٤          | ٠,٣٠٦             | ٠,٧٠٧           | الازاحة العرضية لمراكز الثقل الرأس         |
| التاسع       | ٠,٧٨٥          | ٠,٣٧٨             | ٠,٩٩٣           | الازاحة العرضية لمراكز الثقل الساق اليمني  |
| العاشر       | ٠,٧٨           | ٠,٣٠٣             | ٠,٨٨٤           | الازاحة العرضية لمراكز الثقل الغضد اليمين  |
| الحادي عشر   | ٠,٧٧٥          | ٠,٣٠٨             | ٠,٧٢٨           | الازاحة العرضية لمراكز الثقل الجذع         |
| الثاني عشر   | ٠,٧٦٢          | ٠,٤٠٤             | ١,٠٢٨           | الازاحة العرضية لمراكز الثقل القدم اليمني  |
| الثالث عشر   | ٠,٧٦١          | ٠,٣١٢             | ٠,٥٤٧           | الازاحة العرضية لمراكز الثقل العضد اليسرى  |
| الرابع عشر   | ٠,٧٥٦-         | ١,٥٤              | ٢,٤٠٣-          | الهجهلة الرئيسيه لمراكز ثقل الفخذ اليمين   |
| الخامس عشر   | ٠,٧٤٦          | ٠,٣٣٣             | ٠,٩٥٧           | الازاحة العرضية لمراكز الثقل الساعد اليمين |
| السادس عشر   | ٠,٧٢٧          | ٠,٣٨٦             | ٠,٩٩٣           | الازاحة العرضية لمراكز الثقل الكف اليمين   |
| السابع عشر   | ٠,٦٨٢          | ٠,١٣٠             | ٠,٨٩٨           | الازاحة الرئيسيه لمراكز ثقل الساق اليمني   |

قيمة "ر" الجدولية عند مستوى معنوية ٠,٠٥ ودرجات حرية ٧ = ٠,٦٦٦

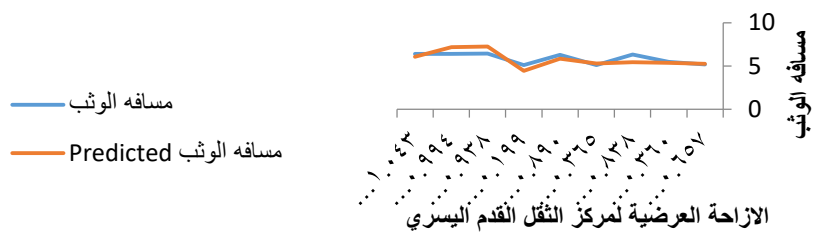
جدول (٤)

تحليل الإنحدار بين المتغيرات البيوميكانيكية والمستوى الرقمي خلال لحظة أقصى ارتفاع

| نسبة المساهمة | معامل الإنحدار |        |         |        | قيمة المقدار    | المتوسط الحسابي | المؤشرات البيوميكانيكية        |
|---------------|----------------|--------|---------|--------|-----------------|-----------------|--------------------------------|
|               |                |        |         |        | الثابت المعياري | الخطأ المعياري  |                                |
| ٩٠,٤٠٦        |                |        |         |        | ٧,٣٨١           | ٧٥,٤            | الازاحة العرضية للقدم اليسرى   |
| ٩٠,٤٠٨        |                |        |         | ٠,٦١٧- | ٧,٩٥٢           | ٣٣,٠            | الازاحة العرضية للساقي اليسرى  |
| ٩٠,٥٥٩        |                |        | ١٠,٠٤٦- | ١٦,٧٦١ | ٠,٩٣١           | ١٩,٢            | الازاحة العرضية للفخذ اليسرى   |
| ٩٣,٩٠١        | ١٠,١٩٧-        | ١,١٨١  | ٢٠,٨٢٧  | ٦,١٣١- | ١٩,٢            | ١,٩٥٣           | الازاحة العرضية للساعدي اليسرى |
| ٩٤,٠٦٩        | ١٨,٩٨١         | ٢,٤٦٨- | ٥٢,٤٤٩- | ٦٦,١٢٠ | -<br>٢٩,١٠١     | ٨٥,٢            | ٠,٨٥٣                          |
|               |                |        |         |        |                 | ٠,٠٦٣٥          | ٠,٩٢٤                          |
|               |                |        |         |        |                 |                 | الازاحة العرضية للفخذ اليمين   |

## الازاحة العرضية لمركز الثقل القدم اليسري

Line Fit Plot



شكل (١)

## الازاحة العرضية للقدم اليسري

المؤشر الأول:

أظهرت نتائج جدول رقم (٣)، (٤) أن الازاحة العرضية للقدم اليسري أكثر المؤشرات مساهمة في مسافة الوثب لمسابقة الوثب الطويل خلال لحظة أقصى إرتفاع حيث بلغت نسبة مساهمتها ٤٠,٩٣٪، وهذا يتفق مع نتائج جدول رقم (٣) الذي أثبت أن هناك علاقة إرتباطية طردية بين الازاحة العرضية للقدم اليسري ومسافة الوثب في مسابقة الوثب الطويل حيث بلغت قيمة معامل الارتباط (٠,٩٠٧) ارتباط طردي قوي أي أنه كلما زادت الازاحة العرضية للقدم اليسري كلما زادت مسافة الوثب، ومما سبق تكون معادلة خط الإنحدار التنبؤية هي:

$$\text{المستوى الرقمي لمهارة الوثب الطويل} = ٧,٣٨١ + ٠,٧٠٨٨ \times (٦٩٩ - ٥,٨٦٧)$$

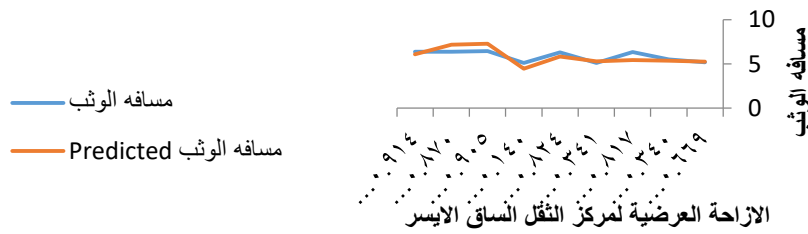
$$x_1 \times y = a + (b_1)$$

(y) = المستوى الرقمي لمهارة الوثب الطويل (a) = المقدار الثابت (b<sub>1</sub>) = معامل الإنحدار الأول (X<sub>1</sub>) = متوسط المؤشر المساهم

المؤشر الثاني:

## الازاحة العرضية لمركز الثقل الساق اليسير

Line Fit Plot



شكل (٢)

## الازاحة العرضية للساق اليسير

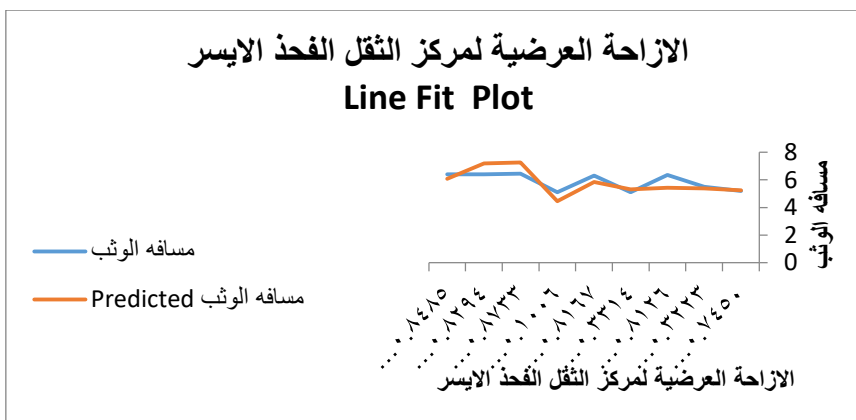
أظهرت نتائج جدولى رقم (٣)، (٤) أن الأزاحه العرضية للساقي اليسير ثانى أكثر المؤشرات مساهمة في مسافه الوثب لمسابقة الوثب الطويل لحظة أقصى إرتفاع حيث رفعت نسبة مساهمتها ٤٠٨% إلى ٩٣,٤%، وهذا يتفق مع نتائج جدول رقم (٣) الذى أثبت أن هناك علاقة إرتباطية طردية بين الأزاحه العرضية للساقي اليسير ومسافه الوثب في مسابقة الوثب الطويل حيث بلغت قيمة معامل الارتباط (٠,٨٨٣) ارتباط طردي قوي أي أنه كلما زادت الأزاحه العرضية للساقي اليسير كلما زادت مسافه الوثب، ومما سبق تكون معادلة خط الإنحدار التنبؤية هي:

**المستوى الرقمي لمهارة الوثب الطويل =**

$$= ٥,٨٦٧ + ٧,٩٥٢ \times ٠,٦٤٧ + ٠,٦١٧ \times ٠,٦٩٩$$

$$y = a + b_1 \times x_1 + b_2 \times x_2$$

**المؤشر الثالث:**



**شكل (٣)  
الازاحة العرضية للفخذ اليسير**

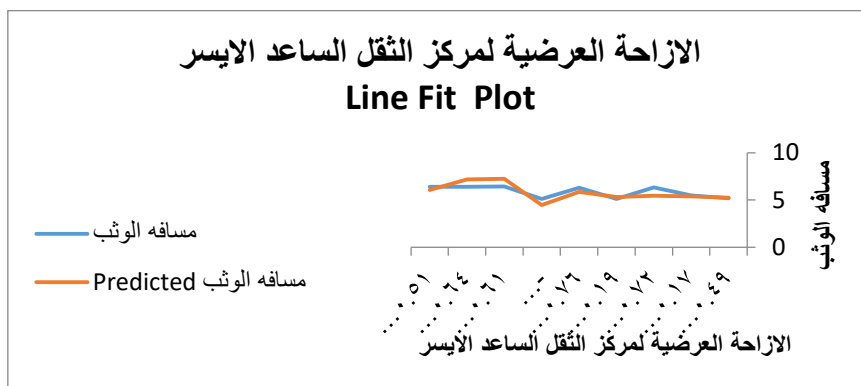
أظهرت نتائج جدولى رقم (٣)، (٤) أن الأزاحه العرضية للفخذ اليسير ثالث أكثر المؤشرات مساهمة في مسافه الوثب لمهارة الوثب الطويل للمرحلة أقصى إرتفاع حيث رفعت نسبة مساهمتها ٤٠٨% إلى ٩٣,٥%، وهذا يتفق مع نتائج جدول رقم (٣) الذى أثبت أن هناك علاقة إرتباطية طردية بين الأزاحه العرضية للفخذ اليسير ومسافه الوثب في مسابقة الوثب الطويل حيث بلغت قيمة معامل الارتباط (٠,٨٢٥) ارتباط طردي قوي أي أنه كلما زادت الأزاحه العرضية للفخذ اليسير كلما زادت مسافه الوثب، ومما سبق تكون معادلة خط الإنحدار التنبؤية هي:

**المستوى الرقمي لمهارة الوثب الطويل =**

$$= ٥,٨٦٧ + ١٦,٧٦١ \times ٠,٩٣١ + ١٦,٧٦١ \times ٠,٦٤٧ + ٠,٦٩٩ \times ٠,٧٠٦٩$$

$$y = a + b_1 \times x_1 + b_2 \times x_2 + b_3 \times x_3$$

المؤشر الرابع:



**شكل (٤)**  
**الازاحة العرضية للساعد الايسر**

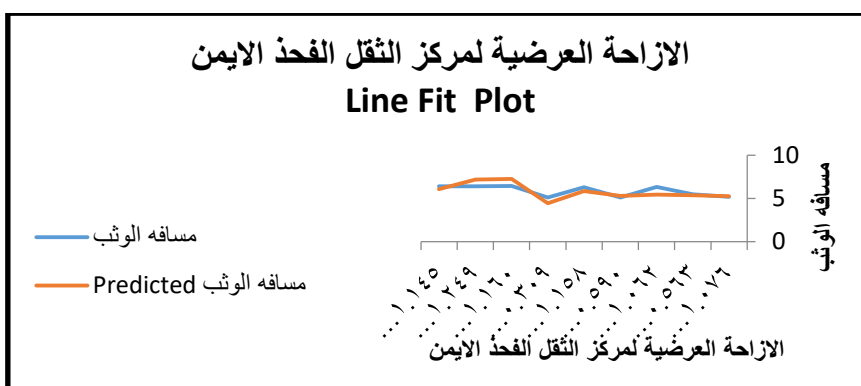
أظهرت نتائج جدول رقم (٣)، (٤) أن الازاحة العرضية للساعد الايسر رابع أكثر المؤشرات مساهمة في مسافة الوثب لمهارة الوثب الطويل لمرحلة أقصى إرتفاع حيث رفعت نسبة مساحتها ٩٣,٥٥٩ % إلى ٩٣,٩٠١ %، وهذا يتفق مع نتائج جدول رقم (٣) الذي أثبت أن هناك علاقة إرتباطية طردية بين الازاحة العرضية للساعد الايسر ومسافة الوثب في مسابقة الوثب الطويل حيث بلغت قيمة معامل الارتباط (٠,٨١١)، ارتباط طردي قوي أي أنه كلما زادت الازاحة العرضية للساعد الايسر كلما زادت مسافة الوثب، ومما سبق تكون معادلة خط الإنحدار التنبؤية هي:

$$\text{المستوى الرقمي لمهارة الوثب الطويل} =$$

$$5,867 + 0,4358 \times 0,699 + 0,647 \times 0,131 - 0,468 \times 0,442 + 1,181 \times 0,631 + 20,827 \times 0,647 \text{ متر}$$

$$y = a + b_1 \times x_1 + b_2 \times x_2 + b_3 \times x_3 + b_4 \times x_4$$

المؤشر الخامس:



**شكل (٥)**  
**الازاحه العرضيه للفخذ الايمن**

أظهرت نتائج جدول رقم (٣)، (٤) أن الإزاحه العرضيه للفخذ الايمن الخامس أكثر المؤشرات مساهمة في مسافه الوثب لمهارة الوثب الطويل لمرحلة أقصى ارتفاع حيث رفعت نسبة مساهمتها ٩٣,٩٠١% إلى ٩٤,٠٦٩%， وهذا يتفق مع نتائج جدول رقم (٣) الذي أثبت أن هناك علاقة ارتباطية طردية بين الإزاحه العرضيه للفخذ الايمن ومسافه الوثب في مسابقة الوثب الطويل حيث بلغت قيمة معامل الارتباط (٠,٨٠١) ارتباط طردی قوي أي أنه كلما زادت الإزاحه العرضيه للفخذ الايمن كلما زادت مسافه الوثب، ومما سبق تكون معادلة خط الإنحدار التنبؤية هي:

**المستوي الرقمي لمهارة الوثب الطويل**

$$= ١٨,٩٨١ \times ٠,٩٢٤ + ٥,٨٦٧ \times ٠,٩٢٤ + ٢,٤٦٨ - \times ٠,٦٣١ + ٦٦,١٢ \times ٠,٦٤٧ + ٢٩,١٠١ - \times ٠,٦٩٩ + ٠,٠٦٣٥$$

$$y = a + b_1 \times x_1 + b_2 \times x_2 + b_3 \times x_3 + b_4 \times x_4 + b_5 \times x_5$$

وتنفق هذه النتائج مع نتائج كلا من دينا صلاح الدين (٢٠١٩م) (٥) و محمد أحمد رمزى (٢٠١١م) (٩) و عبد القادر السيد رمضان (٢٠٠٩م) (٨) وكاثرين تاكر (٢٠١٨م) (١٠).

ويشير طلحة حسام الدين (١٩٩٣م) أن اللاعب عند الارتفاع يجب أن يراعى وجود الذراعين والرجل فى وضع يسمح بزيادة ارتفاع مركز الثقل لحظة الإنطلاق. (٣١٦:٧)

ويشير احمد محمد ابراهيم (٢٠٠٤م) أن مرحلة الطيران تتضمن مرحلتين للحركة الأولى "الحركة السلبية لمركز ثقل كتلته جسم الناشئ في الهواء وتمتد لحظة بداية ترك قدم الارتفاع للوحة حتى لحظة وصول نقطة مركز الثقل إلى أعلى وضع لها، ويتميز العمل العضلي خلالها في دفع الحوض للأمام والميل الخفيف للخلف لكي يتغلب على تأثير عزم الدوران السالب والمضاد لاتجاه الحركة المكتسب من نهاية لحظة الارتفاع"، الثانية "الحركة الإيجابية لمركز ثقل كتله الجسم في الهواء وتمتد من لحظة بلوغ نقطة أعلى وضع لها في قوس الطيران وحتى نقطة الهبوط، حيث يتم توجيه عزم الدوران في اتجاه الحركة". (٢١:١)

### جدول (٥)

مصفوفة أعلى المعاملات الارتباطية بين المتغيرات الزاوية والمستوي الرقمي خلال لحظة أقصى ارتفاع

ن = ٩

| ترتيب المؤشر | معامل الارتباط | الانحراف المعياري | المتوسط الحسابي | أسم المؤشر                       |
|--------------|----------------|-------------------|-----------------|----------------------------------|
| الاول        | ٠,٧٩٢-         | ٠,٣١٥             | ١٥,٨٠١          | العجله الزاويه لرسغ القدم الايسر |
| الثاني       | ٠,٧٥٢-         | ٠,٢٥٤             | ٥٧,٩٨٨          | العجله الزاويه للكتف الايمن      |
| الثالث       | ٠,٧٤٦-         | ٠,٢٤٤             | ١٤٧,٠٠٥         | زاوية الجذع الايمن               |
| الرابع       | ٠,٧٢٣          | ٠,٩٤٦             | ٤٣,٢٢٥          | العجله الزاويه لرسغ القدم الايمن |
| الخامس       | ٠,٧١٣-         | ٠,٣٣٠             | ٨٦,٣١٤          | زاوية الركبه اليمني              |

قيمة "ر" الجدولية عند مستوى معنوية ٠,٠٥ ودرجات حرية ٧ = ٠,٦٦٦

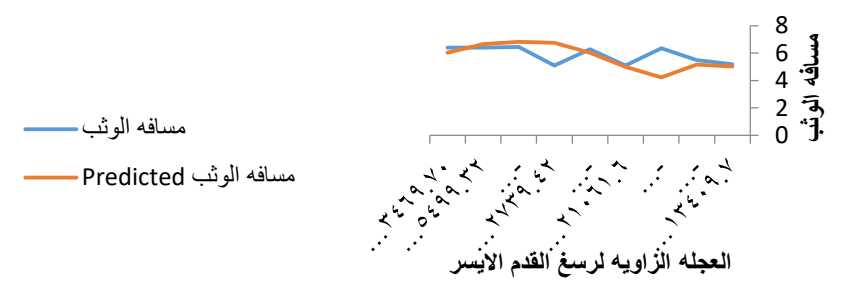
جدول (٦)

تحليل الإنحدار بين المتغيرات الزاوية والمستوي الرقمي خلال لحظة أقصى ارتفاع

| نسبة المساهمة | معامل الإنحدار |       |       |       | قيمة F | الخطأ المعياري | المقدار الثابت | المتوسط الحسابي | المؤشرات البيوميكانيكية |
|---------------|----------------|-------|-------|-------|--------|----------------|----------------|-----------------|-------------------------|
| ٩٦,٤          |                |       |       |       | ٠,٠٠   | ٨,٠            | ٦,٢٥٢          | ٥,٨٥٨١          | ١٥,٨٠١                  |
| ٩٧,٠٤         |                |       |       |       | ٠,٠٠٠  | ٠,٠٠           | ٦,٢٧٢          | ٥,٠٣٩٩          | ٥٧,٩٨٨                  |
| ٩٧,٢٦٩        |                |       | ٠,٠٤١ | ٠,٠٠٠ | ٠,٠٠٠  | ٧١,٢           | ٧١,٢٣١         | ٠,١٣١٥          | ١٤٧,٠٠٥                 |
| ٩٧,٣٠٢        |                | ٠,٠٠٠ | ٠,٠٤٢ | ٠,٠٠٠ | ٠,٠٠٠  | ٤٥,١           | ١,٢٩٩          | ٠,١٣٠١          | ٤٣,٢٢٥                  |
| ٩٧,٥٠٥        | ٠,٠٠٧          | ٠,٠٠٠ | ٠,٠٣٨ | ٠,٠٠٠ | ٠,٠٠   | ٣١,٣           | ١,٣٩٧          | ٠,١١١١          | ٨٦,٣١٤                  |

العجله الزاويه لرسغ القدم الايسر

Line Fit Plot



شكل (٦)

العجله الزاويه لرسغ القدم الايسر

## المؤشر الأول:

أظهرت نتائج جدول رقم (٥)، (٦) أن العجله الزاويه لرسغ القدم الايسر أكثر المؤشرات مساهمة في مسافة الوثب لمسابقة الوثب الطويل خلال لحظة أقصى ارتفاع حيث بلغت نسبة مساهمتها ٩٦,٤%， وهذا يتفق مع نتائج جدول رقم (٥) الذي أثبت أن هناك علاقة إرتباطية عكسية بين العجله الزاويه لرسغ القدم الايسر ومسافة الوثب في مسابقة الوثب الطويل حيث بلغت قيمة معامل الارتباط (-٠,٧٩٢) ارتباط عكسي قوي أي أنه كلما قلت العجله الزاويه لرسغ القدم الايسر كلما زادت مسافة الوثب، ومما سبق تكون معادلة خط الإنحدار التنبؤية هي:

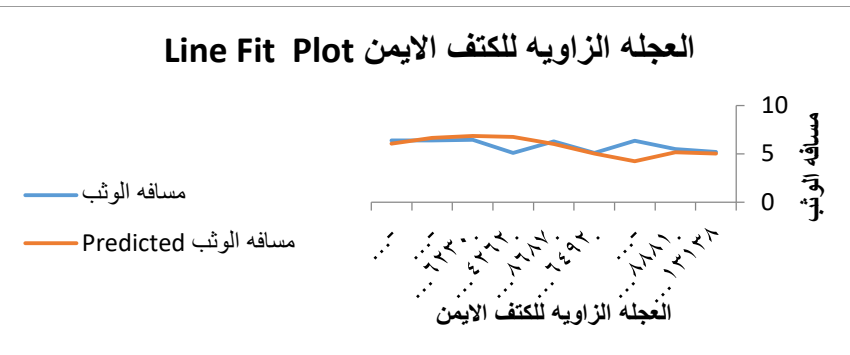
$$\text{المستوي الرقمي لمهارة الوثب الطويل} = ٥,٨٥٨١ + ١٥,٨٠١ \times (٠,٠ \times ٠,٠٣٨) = ٨٦٧ \text{ متر}$$

$$x_1 \times y = a + (b_1)$$

(y) = المستوى الرقمي لمهارة الوثب الطويل (a) = المقدار الثابت ( $b_1$ ) = معامل الإنحدار الأول ( $X_1$ ) = متوسط المؤشر المساهم

المؤشر الثاني:

### العجله الزاويه للكتف اليمين Line Fit Plot



شكل (٧)

### العجله الزاويه للكتف اليمين

أظهرت نتائج جدولى رقم (٥)، (٦) أن العجله الزاويه للكتف اليمين ثانى أكثر المؤشرات مساهمة في مسافة الوثب لمسابقة الوثب الطويل لحظة أقصى إرتفاع حيث رفعت نسبة مساهمتها ٤% إلى ٩٧,٠٤%، وهذا يتفق مع نتائج جدول رقم (٥) الذى أثبت أن هناك علاقة إرتباطية عكسيه بين العجله الزاويه للكتف اليمين ومسافة الوثب في مسابقة الوثب الطويل حيث بلغت قيمة معامل الارتباط (-٠,٧٥٢) ارتباط عكسي قوي أي أنه كلما قلت العجله الزاويه للكتف اليمين كلما زادت مسافة الوثب، ومما سبق تكون معادلة خط الإنحدار التنبؤية هي:

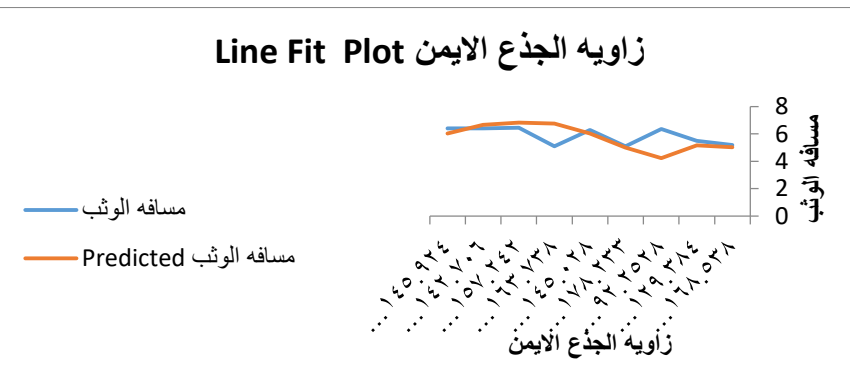
$$\text{المستوى الرقمي لمهارة الوثب الطويل} =$$

$$= ٥,٨٦٧ + ٥,٠٣٣٩ \times ١٥,٨٠١ + ٠,٠ \times ٥٧,٩٨٨ + ٠,٠ \times ٥٧,٩٨٨$$

$$y = a + b_1 \times x_1 + b_2 \times x_2$$

المؤشر الثالث:

### زاویه الجذع اليمين Line Fit Plot



شكل (٨)

### زاویه الجذع اليمين

أظهرت نتائج جدولى رقم (٥)، (٦) أن زاویه الجذع اليمين ثالث أكثر المؤشرات مساهمة في مسافة الوثب لمسابقة الوثب الطويل للمرحلة أقصى إرتفاع حيث رفعت نسبة مساهمتها ٤% إلى ٩٧,٢٦٩%، وهذا يتفق مع نتائج جدول رقم (٥) الذى أثبت أن هناك علاقة إرتباطية عكسيه بين زاویه الجذع اليمين ومسافة الوثب في مسابقة الوثب الطويل حيث بلغت قيمة معامل الارتباط (-٠,٧٤٦) ارتباط عكسي قوي أي أنه كلما زادت زاویه الجذع اليمين كلما زادت مسافة الوثب، ومما سبق تكون معادلة خط الإنحدار التنبؤية هي:

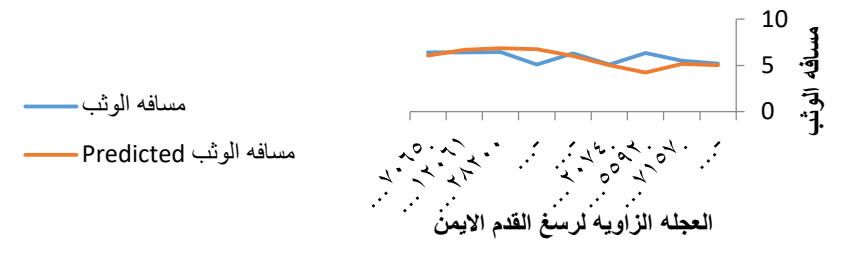
$$\text{المستوى الرقمي لمهارة الوثب الطويل} =$$

$$= ٥,٨٦٧ + ٠,٠ \times ١٥,٨٠١ + ٠,٠ \times ١٤٧,٠٠٥ + ٠,٠ \times ٥٧,٩٨٨ + ٠,٠ \times ٥٧,٩٨٨$$

$$y = a + b_1 \times x_1 + b_2 \times x_2 + b_3 \times x_3$$

المؤشر الرابع:

### Line Fit Plot العجله الزاويه لرسغ القدم الایمن



شكل (٩)

### العجله الزاويه لرسغ القدم الایمن

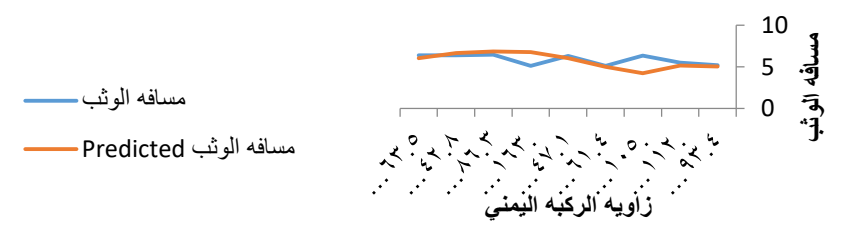
أظهرت نتائج جدول رقم (٥)، (٦) أن العجله الزاويه لرسغ القدم الایمن رابع أكثر المؤشرات مساهمة في مسافة الوثب لمسابقة الوثب الطويل لمرحلة أقصى ارتفاع حيث رفعت نسبة مساهمتها ٩٧,٢٦٩ % إلى ٩٧,٣٠٢ %، وهذا يتفق مع نتائج جدول رقم (٥) الذي أثبت أن هناك علاقة إرتباطية طردية بين العجله الزاويه لرسغ القدم الایمن ومسافة الوثب في مسابقة الوثب الطويل حيث بلغت قيمة معامل الارتباط (-٠,٧٢٣)، ارتباط طردي قوي أي أنه كلما زادت العجله الزاويه لرسغ القدم الایمن كلما زادت مسافة الوثب، ومما سبق تكون معادلة خط الإنحدار التنبؤية هي:

المستوي الرقمي لمهارة الوثب الطويل =

$$y = a + b_1 \times x_1 + b_2 \times x_2 + b_3 \times x_3 + b_4 \times x_4 \\ = ٠,١٣٠١ + ٠,١٥,٨٠١ \times ١٤٧,٠٠٥ + ٠,٠٤٢ \times ٤٣,٢٢٥ + ٠,٠٥٧,٩٨٨ \times ٠,٠٠٥ + ٠,٠٠٠ \times ٥٧,٩٨٨$$

المؤشر الخامس:

### Line Fit Plot زاويه الركبه اليمني



شكل (١٠)

### زاويه الركبه اليمني

أظهرت نتائج جدول رقم (٥)، (٦) أن زاويه الركبه اليمني الخامس أكثر المؤشرات مساهمة في مسافة الوثب لمسابقة الوثب الطويل لمرحلة أقصى ارتفاع حيث رفعت نسبة مساهمتها ٩٧,٣٠٢ % إلى ٩٧,٥٠٥ %، وهذا يتفق مع نتائج جدول رقم (٥) الذي أثبت أن هناك علاقة إرتباطية عكسيه بين زاويه الركبه اليمني ومسافة الوثب في مسابقة الوثب الطويل حيث بلغت قيمة معامل الارتباط (-٠,٧١٣)، ارتباط عكسي قوي أي أنه كلما قلت زاويه الركبه اليمني كلما زادت مسافة الوثب، ومما سبق تكون معادلة خط الإنحدار التنبؤية هي:

المستوي الرقمي لمهارة الوثب الطويل =

$$y = a + b_1 \times x_1 + b_2 \times x_2 + b_3 \times x_3 + b_4 \times x_4 + b_5 \times x_5 \\ = ٠,١١١ + ٠,١٥,٨٠١ \times ١٤٧,٠٠٥ + ٠,٠٤٣,٢٢٥ \times ٠,٠٣٨ + ٠,٠٥٧,٩٨٨ \times ٠,٠٠٥ + ٠,٠٠٠ \times ٥٧,٩٨٨$$

$$y = a + b_1 \times x_1 + b_2 \times x_2 + b_3 \times x_3 + b_4 \times x_4 + b_5 \times x_5 \\ = ٥,٨٦٧ + ٠,٠٠٧$$

وتفق هذه النتائج مع نتائج كلا من دينا صلاح الدين (١٩٢٠م) (٥) ومحمد أحمد رمزى (١٨٠٢م) (٦) وعبد القادر السيد رمضان (٢٠٠٩م) (٧) وكاثرين تاكر (٢٠١٨م) (٨).

كما يرى طلحه حسام الدين (١٩٩٣م) ان معظم لاعبى الوثب الطويل على المستوى الدولى يؤدون الوثب بزاوية إنطلاق لمركز ثقل جسمهم تتحصر بين ٢٥،٢٠ درجه كما ذكر أن من العوامل التي تساعده على زيادة المسافة الأفقية سرعة الإنطلاق وإرتفاع نقطة الإنطلاق وإستخدام الزاوية المثلثى للإنطلاق. (٣١٦: ٧)

ويرى أشرف عبد الحافظ (٢٠٠٢م) أن مرحلة الطيران تعتمد بصفة أساسية على مرحلة الارتفاع والتي تعتبر من أهم مراحل الأداء الفني وذلك من أجل إكساب مركز ثقل الجسم أعلى سرعة طيران ممكنه خلال (١٣،٠ إلى ١٠،٠) وبذلك تلعب سرعة زاوية الارتفاع وكذلك ارتفاع مركز النقل لحظة الارتفاع دورا حاسما في مستوى الوثب. (١٢: ٢)

#### جدول (٧)

#### مصفوفة أعلى المعاملات الارتباطاً بين المتغيرات البيوميكانيكية والمستوى الرقمي خلال لحظة الهبوط

ن = ٩

| ترتيب المؤشر | معامل الارتباط | الاتحراف المعياري | المتوسط الحسابي | أسم المؤشر                        |
|--------------|----------------|-------------------|-----------------|-----------------------------------|
| الأول        | ٠.٨٨٨          | ٠.٣٥٦             | ٠.٧١٩           | الازاحة العرضية للقدم اليسري      |
| الثاني       | ٠.٨٨٦          | ٠.٣٠٤             | ١.١٠٣           | الازاحة العرضية لكف اليد اليمين   |
| الثالث       | ٠.٨٨٢          | ٠.٥٩٤             | ٥.٣٦٢           | الازاحة الأفقية للرأس             |
| الرابع       | ٠.٨٧٩          | ٠.٥٧٥             | ٥.٧٦٠           | الازاحة الأفقية للقدم اليسري      |
| الخامس       | ٠.٨٦           | ٠.٣٤٣             | ٠.٨٨٧           | الازاحة العرضية للقدم اليمني      |
| السادس       | ٠.٨٥٨          | ٠.٥٥٩             | ٥.٧٥            | الازاحة الأفقية للقدم اليمني      |
| السابع       | ٠.٨٥١          | ٠.٣٢٧             | ٠.٩٠١           | الازاحة العرضية للساقد اليمني     |
| الثامن       | ٠.٨٤٨          | ٠.٥٦٨             | ٥.٢٧            | الازاحة الأفقية للعضد اليمين      |
| التاسع       | ٠.٨٤٧          | ٠.٣٤٢             | ٠.٧٠٢           | الازاحة العرضية للساقد اليسري     |
| العاشر       | ٠.٨٣٩          | ٠.٢٧٩             | ١.٠٢٨           | الازاحة العرضية للساقد اليمين     |
| الحادي عشر   | ٠.٨٣٢          | ٠.٥٧١             | ٥.٢٧            | الازاحة الأفقية للعضد اليسير      |
| الثاني عشر   | ٠.٨٣١          | ٠.٦١٢             | ٥.٥٦٦           | الازاحة الأفقية للساقد اليسري     |
| الثالث عشر   | ٠.٨٢٢          | ٠.٦٠١             | ٥.٥٨٥           | الازاحة الأفقية للساقد اليمني     |
| الرابع عشر   | ٠.٨١٧          | ٠.٦١٤             | ٥.٢٨            | الازاحة الأفقية لمركز الثقل العام |
| الخامس عشر   | ٠.٨١٢          | ٠.٦٣٣             | ٥.١٨٧           | الازاحة الأفقية للجذع             |
| السادس عشر   | ٠.٨١           | ٠.٣١٣             | ٠.٩٠٣           | الازاحة العرضية للفخذ اليمين      |
| السابع عشر   | ٠.٧٩٥          | ٠.٤٣٨             | ٥.٣٤            | الازاحة الأفقية للساقد اليمين     |
| الثامن عشر   | ٠.٧٩١          | ٠.٤٦٨             | ٥.٣٣            | الازاحة الأفقية للساقد اليسير     |
| التاسع عشر   | ٠.٧٨٦          | ٠.٣٠٧             | ٠.٦٧٨           | الازاحة العرضية للفخذ اليسير      |

## تابع جدول (٧)

| ترتيب المؤشر   | معامل الارتباط | الاتحراف المعياري | المتوسط الحسابي | أسم المؤشر                        |
|----------------|----------------|-------------------|-----------------|-----------------------------------|
| العشرون        | ٠.٧٨١          | ٠.٦٤٩             | ٥.٢٨            | الازاحه الافقية للفخذ الايمن      |
| واحد وعشرون    | ٠.٧٨١          | ٠.٦٤٥             | ٥.٢٦٦           | الازاحه الافقية للفخذ الايسر      |
| اثنان وعشرون   | ٠.٧٧           | ٨.٠٨٦             | ٠.٨١٦-          | العجله الرأسية للفخذ الايمن       |
| ثلاثه وعشرون   | ٠.٧٦٧          | ٠.٢٨٨             | ٠.٧٥١           | الازاحه العرضيه لمركز القفل العام |
| أربعة وعشرون   | ٠.٧٥٩          | ٠.٢٧٠             | ٠.٩٠٤           | الازاحه العرضيه للعهد الايمن      |
| خمسه وعشرون    | ٠.٧٤           | ٠.٤٠٦             | ٥.٣٩            | الازاحه الافقية لكف اليد الايسر   |
| سته وعشرون     | ٠.٧٣٦          | ٠.٢٨٢             | ٠.٧٣٤           | الازاحه العرضيه للجذع             |
| سبعين وعشرون   | ٠.٧٢           | ١.٥٣              | ٠.٨٣٥-          | العجله الرأسية للفخذ الايسر       |
| ثمانيه وعشرون  | ٠.٧١٨-         | ٠.٦٣٥             | ٠.١٢٩           | السرعه العرضيه للعهد الايمن       |
| تسعمه وعشرون   | ٠.٧٠٨          | ١.٦٢              | ٨.٠٩            | محصلة الازاحه للقدم اليمني        |
| ثلاثون         | ٠.٦٩٨          | ٠.٣٠٢             | ٠.٤٩٣           | الازاحه العرضيه للساعده الايسر    |
| واحد وثلاثون   | ٠.٦٩٣          | ٠.٣٥١             | ٥.٤١            | الازاحه الافقية لكف اليد الايمن   |
| اثنان وثلاثون  | ٠.٦٨٨          | ١.٥٥              | ٧.٥٩٨           | محصلة الازاحه للساقد اليمني       |
| ثلاثه وثلاثون  | ٠.٦٧٨          | ٠.٢٧٧             | ٠.٥٤٢           | الازاحه العرضيه للعهد الايسر      |
| أربعمه وثلاثون | ٠.٦٧٦          | ٠.٧٢٨             | ٠.٢٢٩-          | السرعه العرضيه للساقد اليمني      |

قيمة "ر" الجدولية عند مستوى معنوية ٠,٠٥ ودرجات حرية ٧ = ٠,٦٦٦

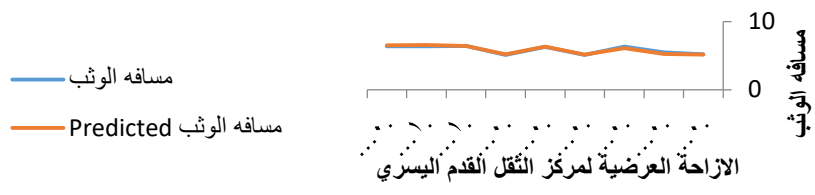
## جدول (٨)

## تحليل الإنحدار بين المتغيرات البيوميكانيكية والمستوي الرقمي خلال لحظة الهبوط

| المؤشرات<br>البيوميكانيكية         | المتوسط<br>الحسابي | المقدار<br>الثابت | الخطأ<br>المعياري | قيمة ف | معامل الانحدار | نسبة<br>المساهمة |
|------------------------------------|--------------------|-------------------|-------------------|--------|----------------|------------------|
| الازاحه العرضيه<br>للقدم الايسري   | ٠,٧١٩              | ٠,٨٥٣٣            | ٢,١٥٥             | ٥٩,٣   | ٦,٩٧٤          | ٨٨,١١٩           |
| الازاحه العرضيه<br>لكف اليد الايمن | ١,١٠٣              | ٠,٠٤٥٦            | ٠,٥٨٨             | ٤٤٩,٠  | ٨,٩٨٢          | ٩٩,٢٢٧           |
| الازاحه الافقية<br>للرأس           | ٥,٣٦٢              | ٠,٠١٨٠            | ٩٩٨,٣٨            | ٩٩٨,٤  | ١,١٩٢          | ٩٩,٨٠٠           |
| الازاحه الافقية<br>للقدم الايسري   | ٥,٧٦٠              | ٠,٠٠٣١            | ١٦٧٨,٠            | ٣,٥٧٤  | ٣,٧٧٧-         | ٩٩,٩٢٦           |
| الازاحه العرضيه<br>للقدم اليمني    | ٠,٨٨٧              | ٠,٠٠٣٤            | ١٤٧٠,٧            | ٦,٦٩٤  | ٤,٢٤٩-         | ٩٩,٩٤٦           |

## الازاحة العرضية لمركز الثقل القدم اليسري

Line Fit Plot



شكل (١١)  
الازاحة العرضية للقدم اليسري

## المؤشر الأول:

أظهرت نتائج جدول رقم (٧)، (٨) أن الازاحة العرضية للقدم اليسري أكثر المؤشرات مساهمة في مسافة الوثب لمسابقة الوثب الطويل خلال لحظة الهبوط حيث بلغت نسبة مساهمتها ٨٨,١١٪، وهذا يتفق مع نتائج جدول رقم (٧) الذي أثبت أن هناك علاقة إرتباطية طردية بين الازاحة العرضية للقدم اليسري ومسافة الوثب في مسابقة الوثب الطويل حيث بلغت قيمة معامل الارتباط (٠,٨٨٨) ارتباط طردي قوي أي أنه كلما ذادت الازاحة العرضية للقدم اليسري كلما ذادت مسافة الوثب، وما سبق تكون معادلة خط الإنحدار التنبؤية هي:

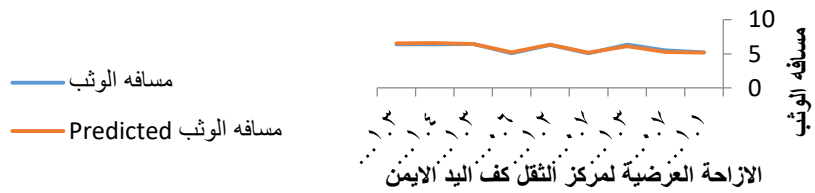
$$\text{المستوى الرقمي لمهارة الوثب الطويل} = ٥,٨٦٧ + ٠,٨٥٣ \times (٦,٩٧٤ - X_1)$$

$y = a + b_1 x_1$  (y) = المستوى الرقمي لمهارة الوثب الطويل (a) = المقدار الثابت  
 $b_1$  = معامل الإنحدار الأول ( $X_1$ ) = متوسط المؤشر المساهم

## المؤشر الثاني:

## الازاحة العرضية لمركز الثقل كف اليد اليمين

Line Fit Plot



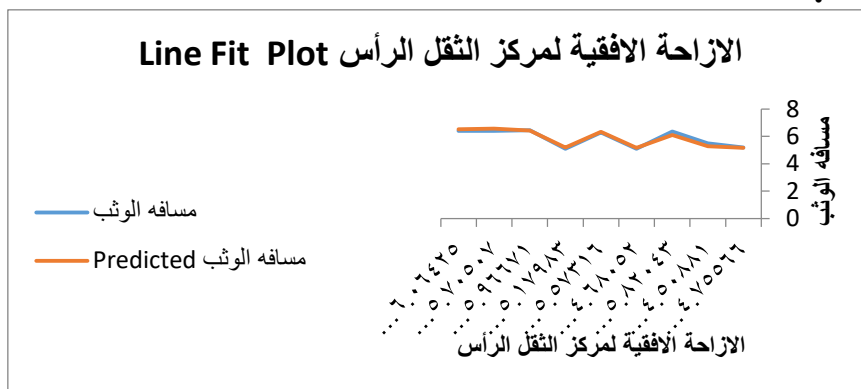
شكل (١٢)  
الازاحه العرضية لكف اليد اليمين

أظهرت نتائج جدول رقم (٧)، (٨) أن الأزاحه العرضية لKF اليد اليمين ثانٍ أكثر المؤشرات مساهمة في مسافة الوثب لمسابقة الوثب الطويل لحظة الهبوط حيث رفعت نسبة مساهمتها ٨٨,١١٪ إلى ٩٩,٢٢٪، وهذا يتفق مع نتائج جدول رقم (٧) الذي أثبت أن هناك علاقة إرتباطية طردية بين الأزاحه العرضية لKF اليد اليمين ومسافة الوثب في مسابقة الوثب الطويل حيث بلغت قيمة معامل الارتباط (٠,٨٨٦) ارتباط طردي قوي أي أنه كلما ذادت الأزاحه العرضية لKF اليد اليمين كلما ذادت مسافة الوثب، وما سبق تكون معادلة خط الإنحدار التنبؤية هي:

$$\text{المستوى الرقمي لمهارة الوثب الطويل} = ٥,٨٦٧ + ٠,٩٨٢ \times ١,١٠٣ + ٥,٦٨٧ \times ٠,٧١٩ + ٠,٠٤٥٦$$

$$y = a + b_1 x_1 + b_2 x_2$$

المؤشر الثالث:



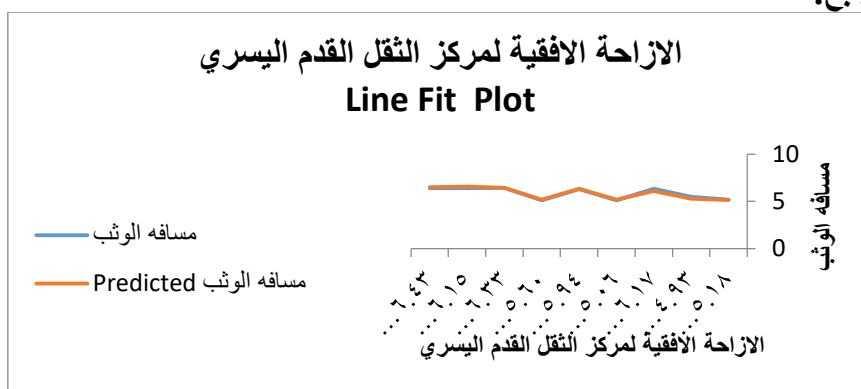
**شكل (١٣)**  
**الازاحة الافقية للرأس**

أظهرت نتائج جدول رقم (٧)، (٨) أن الازاحة الافقية للرأس ثالث أكثر المؤشرات مساهمة في مسافة الوثب لمسابقة الوثب الطويل للمرحلة الهبوط حيث رفعت نسبة مساهمتها %٩٩,٨٠ إلى %٩٩,٢٢٧، وهذا يتفق مع نتائج جدول رقم (٧) الذي أثبت أن هناك علاقة إرتباطية طردية بين الازاحة الافقية للرأس ومسافة الوثب في مسابقة الوثب الطويل حيث بلغ قيمة معامل الارتباط (٠,٨٨٢)، ارتباط طردي قوي أي أنه كلما زادت الازاحة الافقية للرأس كلما زادت مسافة الوثب، وما سبق تكون معادلة خط الإنحدار التنبؤية هي:

$$\text{المستوى الرقمي لمهارة الوثب الطويل} = ١,١٩٤ \times ٥,٣٦٢ + ١,٣٩٤ - ١,١٠٣ \times ١,٣٨١ + ٠,٧١٩ + ٠,٠٠١٨$$

$$y = a + b_1 \times x_1 + b_2 \times x_2 + b_3 \times x_3$$

المؤشر الرابع:



**شكل (١٤)**  
**الازاحة الافقية للقدم اليسري**

أظهرت نتائج جدول رقم (٧)، (٨) أن الازاحة الافقية للقدم اليسري رابع أكثر المؤشرات مساهمة في مسافة الوثب لمسابقة الوثب الطويل لمرحلة الهبوط حيث رفعت نسبة مساهمتها %٩٩,٨٠ إلى %٩٩,٩٩، وهذا يتفق مع نتائج جدول رقم (٧) الذي أثبت أن هناك علاقة إرتباطية طردية بين الازاحة الافقية للقدم اليسري ومسافة الوثب في مسابقة الوثب الطويل حيث بلغت قيمة معامل الارتباط (٠,٨٧٩)، ارتباط طردي قوي أي أنه كلما زادت الازاحة الافقية للقدم اليسري كلما زادت مسافة الوثب، وما سبق تكون معادلة خط الإنحدار التنبؤية هي:

$$\text{المستوى الرقمي لمهارة الوثب الطويل} = ٤,١٣٦ \times ٥,٣٦٢ + ٣,٧٧٧ - ١,١٠٣ \times ٣,٥٧٤ + ٠,٧١٩ + ٠,٠٠٣١$$

$$y = a + b_1 \times x_1 + b_2 \times x_2 + b_3 \times x_3 + b_4 \times x_4$$

المؤشر الخامس:



شكل (١٥)

**الازاحه العرضيه لقدم اليمين**

أظهرت نتائج جدول رقم (٧)، (٨) أن الازاحه العرضيه لقدم اليمين الخامس أكثر المؤشرات مساهمة في مسافة الوثب لمسابقة الوثب الطويل لمرحلة الهبوط حيث رفعت نسبة مساهمتها ٩٩,٩٤% إلى ٩٩,٩٢%، وهذا يتفق مع نتائج جدول رقم (٧) الذي أثبت أن هناك علاقة إرتباطية طردية بين الازاحه العرضيه ل القدم اليميني ومسافة الوثب في مسابقة الوثب الطويل حيث بلغت قيمة معامل الارتباط (٠.٨٦) ارتباط طردي قوي أي أنه كلما زادت الازاحه العرضيه للقدم اليمني كلما زادت مسافة الوثب، ومما سبق تكون معادلة خط الإنحدار التنبؤية هي:

$$\text{المستوى الرقمي لمهارة الوثب الطويل} = - \times ٠,٨٦٧ + ٥,٨٦٧ \times ٥,٧٢٦ + ٤,٦١٦ - \times ٥,٣٦٢ + ٤,٢٤٩ - \times ١,١٠٣ + ٦,٦٩٤ \times ٠,٧١٩ + ٠,٠٠٣٤$$

$$= ٢,٨١ \text{ متر}$$

$$y = a + b_1 \times x_1 + b_2 \times x_2 + b_3 \times x_3 + b_4 \times x_4 + b_5 \times x_5$$

وتنتفق هذه النتائج مع نتائج كلا من دينا صلاح الدين (٢٠١٩م) (٥) و محمد أحمد رمزى (٢٠١١م) (٩) و عبد القادر السيد رمضان (٢٠٠٩م) (٨) وكاثرين تاكر (٢٠١٨م) (١٠).

ويشير طلحة حسام الدين (١٩٩٣م) أن الذى يؤثر في المسافة تأخير وصول القدمين لسطح الأرض قدر الإمكان للاستفاده بزمن الطيران وقبض مفصلى الحوض والتقريب بين الفخذ والجذع قدر الإمكان وذلك بأن يصبح الطرف السفلى أقرب ما يكون للمستوى الأفقي لكي تصل القدمان إلى أبعد مسافة ممكنه لحظة إتصاله بالأرض. (٧:٣١٨)

جدول (٩)

**مصفوفة أعلى المعاملات ارتباطاً بين المتغيرات الزاويه والمستوى الرقمي خلال لحظة الهبوط**  
ن = ٩

| ترتيب المؤشر | معامل الارتباط | الانحراف المعياري | المتوسط الحسابي | أسم المؤشر                       |
|--------------|----------------|-------------------|-----------------|----------------------------------|
| الاول        | ٠,٨١٨          | ٠,٣٩٥             | ٨٦,٧٦٨          | الجله الزاويه لرسغ القدم اليمين  |
| الثاني       | ٠,٧٥٨-         | ٠,٣٩٤             | ٩٩,٦٠٩          | السرعه الزاويه لرسغ القدم اليمين |
| الثالث       | ٠,٦٨           | ٠,٤٩٤             | ٣٦,٦٣٧          | الجله الزاويه للجذع اليسير       |
| الرابع       | ٠,٦٧٧          | ٠,٣٧٣             | ١٣٦,٨٢٧         | زاويه الركبه اليسري              |

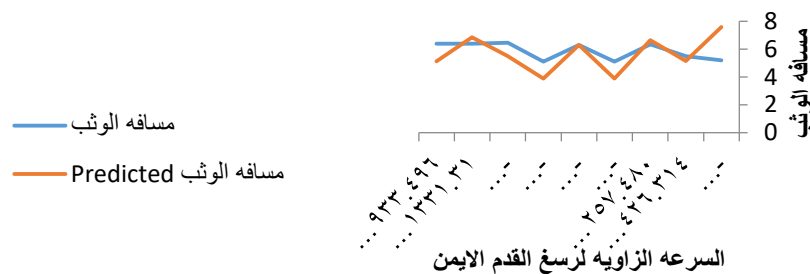
قيمة "ر" الجدولية عند مستوى معنوية ٠,٠٥ ودرجات حرية ٧ = ٠,٦٦٦.

## جدول (١٠)

## تحليل الإنحدار بين المتغيرات الزاوية والمستوي الرقمي خلال لحظة الهبوط

| نسبة المساهمة |       |        |        | معامل الإنحدار | قيمة F | الخطأ المعياري | المقدار الثابت | المتوسط الحسابي | المؤشرات البيوميكانيكية          |
|---------------|-------|--------|--------|----------------|--------|----------------|----------------|-----------------|----------------------------------|
| ٧٠,٣٧٨        |       |        |        | ٠,٠٠٢          | ٩,٣    | ٠,٤٢٠          | ٥,٧٢٠          | ٨٦,٧٦٨          | السرعه الزاويه لرسغ القدم الايمن |
| ٧٠,٨٠٠        |       |        |        | ٠,٠٤٢          | ٠,٠٠١  | ٨,٥            | ٠,٠٠٠          | ١,٦١١           | العجله الزاويه للجذع اليسير      |
| ٧٧,٣٢١        |       | ٠,٠١٥  | ٠,٠٤٤  | ٠,٠٠٤-         | ٦,٨    | ٠,٠٠٠          | ١,٢٩٢          | ٣٦,٦٣٧          | العجله الزاويه لرسغ القدم الايمن |
| ٩٦,٢٩٣        | ٠,٠٥٢ | ٠,٠١٠- | ٠,٠١٣- | ٠,٠٠٣          | ٣٢,٥   | ٠,٧٧٣          | ٠,٢١١          | ١٣٦,٨٢٧         | زاویه الرکبہ اليسري              |

السرعه الزاويه لرسغ القدم الايمن Line Fit Plot

شكل (١٦)  
السرعه الزاويه لرسغ القدم الايمن

المؤشر الأول:

أظهرت نتائج جدولى رقم (٩)، (١٠) أن السرعه الزاويه لرسغ القدم الايمن أكثر المؤشرات مساهمة في مسافه الوثب لمسابقة الوثب الطويل خلال لحظة الهبوط حيث بلغت نسبة مساهمتها ٧٠,٣٧٨%， وهذا يتفق مع نتائج جدول رقم (٩) الذى أثبت أن هناك علاقة إرتباطية طردية بين السرعه الزاويه لرسغ القدم الايمين ومسافه الوثب في مسابقة الوثب الطويل حيث بلغت قيمة معامل الارتباط (٠,٨١٨) ارتباط طردی قوي أي أنه كلما قلت السرعه الزاويه لرسغ القدم الايمين كلما ذادت مسافه الوثب، مما سبق تكون معادلة خط الإنحدار التنبؤية هي:

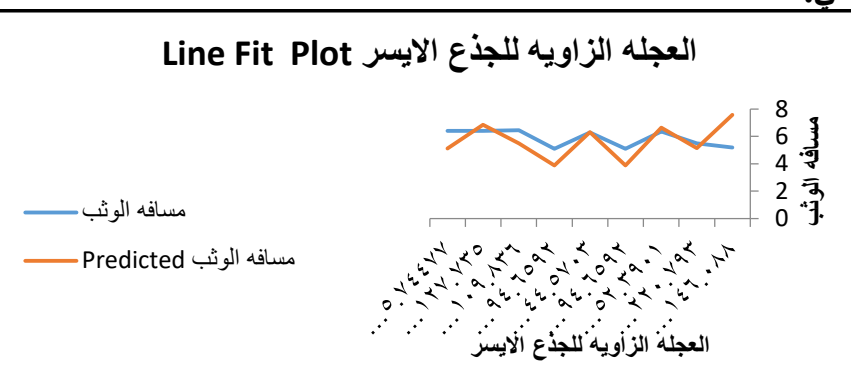
$$\text{المستوي الرقمي لمهارة الوثب الطويل} = ٥,٧٢ + ٥,٧٢ \times ٨٦,٧٦٨ = ٠,٠٠٢ \text{ متر}$$

$y = a + b_1 x$  = المستوي الرقمي لمهارة الوثب الطويل (a) = المقدار الثابت

$b_1$  = معامل الإنحدار الأول ( $X_1$ ) = متوسط المؤشر المساهم

المؤشر الثاني:

### العجله الزاويه للجذع الايسر



شكل (١٧)

### العجله الزاويه للجذع الايسر

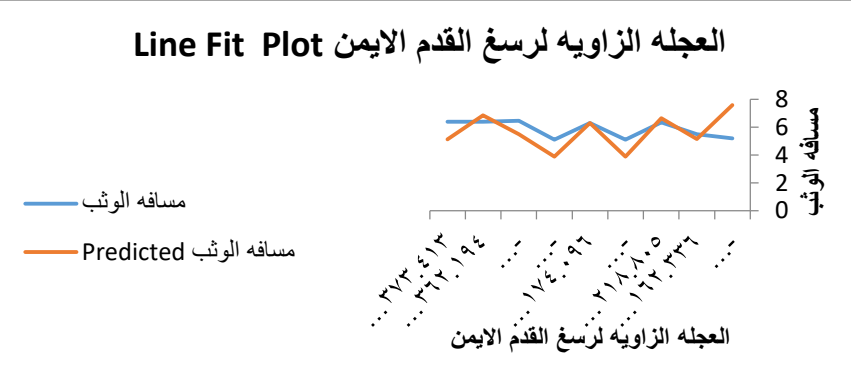
أظهرت نتائج جدولى رقم (٩)، (١٠) أن العجله الزاويه للجذع الايسر ثانى أكثر المؤشرات مساهمة في مسافه الوثب لمسابقة الوثب الطويل لحظة الهبوط حيث رفعت نسبة مساهمتها ٣٧٨٪ إلى ٧٠٪، وهذا يتفق مع نتائج جدول رقم (٩) الذى أثبت أن هناك علاقة إرتباطية عكسيه بين العجله الزاويه للجذع الايسر ومسافه الوثب في مسابقة الوثب الطويل حيث بلغت قيمة معامل الارتباط (-٠,٧٥٨)، ارتباط عكسي قوي أي أنه كلما قلت العجله الزاويه للجذع الايسر كلما زادت مسافه الوثب، ومما سبق تكون معادلة خط الإنحدار التنبؤية هي:

$$\text{المستوى الرقمي لمهارة الوثب الطويل} = ١,٦١١ + ١,٦٦٨ \times ٨٦,٧٦٨ + ٠,٠٤٢ \times ٩٩,٦٠٩ + ٠,٠٠١ \times ٨٦,٧٦٨$$

$$y = a + b_1 \times x_1 + b_2 \times x_2$$

المؤشر الثالث:

### العجله الزاويه لرسغ القدم اليمين



شكل (١٨)

### العجله الزاويه لرسغ القدم اليمين

أظهرت نتائج جدولى رقم (٩)، (١٠) أن العجله الزاويه لرسغ القدم اليمين ثالث أكثر المؤشرات مساهمة في مسافه الوثب لمسابقة الوثب الطويل للمرحلة الهبوط حيث رفعت نسبة مساهمتها ٧٠٪ إلى ٧٧,٣٪، وهذا يتفق مع نتائج جدول رقم (٩) الذى أثبت أن هناك علاقة إرتباطية طردية بين العجله الزاويه لرسغ القدم اليمين ومسافه الوثب في مسابقة الوثب الطويل حيث بلغت قيمة معامل الارتباط (-٠,٦٨)، ارتباط طردى قوي أي أنه كلما زادت العجله الزاويه لرسغ القدم اليمين كلما زادت مسافه الوثب، ومما سبق تكون معادلة خط الإنحدار التنبؤية هي:

$$\text{المستوى الرقمي لمهارة الوثب الطويل} = ١,٢٩٢ + ١,٢٩٨ \times ٨٦,٧٦٨ + ٠,٠٤٤ \times ٩٩,٦٠٩ + ٠,٠١٥ \times ٣٦,٦٣٧$$

$$y = a + b_1 \times x_1 + b_2 \times x_2 + b_3 \times x_3$$

المؤشر الرابع:



شكل (١٩)  
زاویه الرکبہ الیسرا

أظهرت نتائج جدول رقم (٩)، (١٠) أن زاویه الرکبہ الیسرا رابع أكثر المؤشرات مساهمة في مسافة الوثب لمسابقة الوثب الطويل لمرحلة الهبوط حيث رفعت نسبة مساهمتها إلى ٧٧,٣٢%، وهذا يتفق مع نتائج جدول رقم (٩) الذي أثبت أن هناك علاقة إرتباطية طردية بين زاویه الرکبہ الیسرا ومسافة الوثب في مسابقة الوثب الطويل حيث بلغت قيمة معامل الارتباط (٦٧٧،٠)، ارتباط طردي قوي أي أنه كلما زادت زاویه الرکبہ الیسرا اليمين كلما زادت مسافة الوثب، مما سبق تكون معادلة خط الانحدار التنبؤية هي:

المستوى الرقمي لمهارة الوثب الطويل =

$$= ٠,٨٦٧ + ٠,١٣٠١ + ٠,١٥٠١ \times ٠,١٣٠١ + ٠,٠٥ \times ٥٧,٩٨٨ + ٠,٠٤ \times ٤٣,٢٢٥ + ٠,٠٥ \times ١٤٧,٠٠٥ + ٠,٠٤ \times ٤٣,٢٢٥ + ٠,٠٥ \times ٥٧,٩٨٨$$

$$y = a + b_1 \times x_1 + b_2$$

وتنتفق هذه النتائج مع نتائج كلا من دينا صلاح الدين (١٩٢٠م) (٥) ومحمد أحمد رمزي (٢٠١١م) (٩) وعبد القادر السيد رمضان (٢٠٠٩م) (٨) وكاثرين تاكر (٢٠١٨م) (١٠). كما يرى طلحة حسام الدين (١٩٩٣م) أن معظم لاعبي الوثب الطويل على المستوى الدولي يؤدون الوثب بزاوية إنطلاق لمركز ثقل جسمهم تتحصر بين ٢٥،٢٠ درجة كما ذكر أن من العوامل التي تساعد على زيادة المسافة الأفقية سرعة الإنطلاق وإرتفاع نقطة الإنطلاق وإستخدام الزاوية المثلثى للإنطلاق. (٣١٦:٧)

**الاستنتاجات والتوصيات:****أولاً: الاستنتاجات:**

- ١- توجد علاقة طردية بين الإزاحه العرضيه لكلا من (القدم اليسري-مركز ثقل الساق اليسرى- مركز ثقل الفخذ الأيسر- مركز ثقل الساعد الأيسر- مركز ثقل الفخذ الأيمن) وبين المستوى الرقمي في لحظة أقصى إرتفاع أى انه كلما زادت زاد المستوى الرقمي.
- ٢- توجد علاقة طردية بين العجله الزاويه لكلا من (رسغ القدم الأيسر-الكتف الأيمن – زاوية الجذع الأيمن- رسغ القدم الأيمن – زاوية الركبه اليمنى) وبين المستوى الرقمي في لحظة أقصى إرتفاع أى انه كلما زادت زاد المستوى الرقمي.
- ٣- توجد علاقة طردية بين الإزاحه العرضيه لكلا من (مركز الثقل للقدم اليسري- مركز الثقل كف اليد اليمنى – مركز ثقل القدم اليمنى) والإزاحه الأفقية (لمركز ثقل الرأس – مركز ثقل القدم اليسري) وبين المستوى الرقمي في لحظة الهبوط أى أنه كلما زادت زاد المستوى الرقمي.
- ٤- توجد علاقة طردية بين السرعه الزاويه لرسغ القدم الأيمن – العجله الزاويه للجذع الأيسر- العجله الزاويه لرسغ القدم الأيمن – زاوية الركبه اليسري وبين المستوى الرقمي في لحظة الهبوط أى انه كلما زادت زاد المستوى الرقمي.
- ٥- يمكن الاعتماد على المتغيرات كمؤشر لأداء اللاعبين في مرحلة الطيران والهبوط في الوثب الطويل علي اعتبار أن أفراد العينة تمثل أفضل اللاعبين رقمياً في الوثب الطويل في مصر.

**ثانياً: التوصيات:**

**في ضوء ما توصلت إليه الباحثة من استنتاجات توصي الباحثة بما يلي:**

- ١- تكليف الباحثين في مجال ألعاب القوى بعمل تحليل بيوميكانيكي لكل مهارات المستويات العالمية والدولية والمصرية في رياضة ألعاب القوى تحت إشراف الاتحاد المصري لأنلعاب القوى وبالتعاون مع وحدات التحليل الحركي في كليات التربية الرياضية.
- ٢- توفير أكبر قدر من الأجهزة المساعدة في الوثب الطويل بوجه خاص وجميع مسابقات الميدان والمضمار بوجه عام.
- ٣- الاستعانة بنتائج البحث البيوميكانية في تعليم مهارة الوثب الطويل قيد البحث.

## المراجع:

## أولاً: المراجع العربية:

- ١- احمد محمد ابراهيم (٢٠٠٤م): تأثير برنامج تدريسي مقترن باستخدام جهاز مبتكر على بعض مراحل الاداء الفني والمستوى الرقمي لمتسابقي الوثب الطويل، رسالة دكتوراه غير منشورة، كلية التربية الرياضية، جامعة طنطا.
- ٢- أشرف عبد الحافظ مصطفى (٢٠٠٢م): تأثير التدريب على مرتقبات مختلفة لمستوى منطقة الهبوط على مسافة الوثب الطويل لدى الناشئين رسالة ماجستير غير منشورة، كلية التربية الرياضية، جامعة طنطا.
- ٣- أشرف عبد الحميد ماهر (١٩٩٧م): تصميم بطارية اختبارات بدنية لناشئ الوثب الطويل تحت ١٦ سنة، رسالة منشورة، كلية التربية الرياضية للبنين، جامعة الإسكندرية.
- ٤- بسطويسي أحمد بسطويسي (١٩٩٧م): سباقات المضمار ومسابقات الميدان "تعليم - تكنولوجيا تدريب"، دار المعارف، القاهرة.
- ٥- دينا صلاح الدين محمد (٢٠١٩م): المؤشرات الميكانيكية على لوحة الإرقاء لأبطال مصر في الوثب الطويل رجال، المجله العلميه لعلوم وفنون الرياضه، كلية التربية الرياضيه للبنات بالجزيره، جامعة حلوان.
- ٦- صدقى أحمد سلام (٢٠١٤م): العاب القوى مسابقات الميدان وثب ورمي ومتعلقاتها،مركز الكتاب الحديث.
- ٧- طلحة حسام الدين (١٩٩٣م): الميكانيكا الحيوية الأسس النظرية والتطبيقية، دار الفكر العربي، ط١، القاهرة.
- ٨- عبد القادر السيد مصطفى عوض (٢٠٠٩م): المؤشرات البيوميكانيكية كدالة لوضع تمرينات نوعيه لمهارة الوثب الطويل، رسالة دكتوراه، غير مشورة، كلية التربية الرياضية للبنين، جامعة الزقازيق.
- ٩- محمد أحمد رمزي بدران (٢٠١١م): التنبؤ بمستوى الإنجاز الرقمي لمسابقة الوثب الطويل في ضوء بعض المؤشرات البيوميكانيكية مجلة بحوث التربية الرياضية، كلية التربية الرياضية للبنين، المجلد ٤ العدد ٥٧ ،جامعة الزقازيق.

## المراجع الأجنبية:

- 10- Catherine Tucker, Athanassios Bissas, Stéphane Merlino (2019): Biomechanical Report for the IAAF World Indoor Championships 2018, Long Jump Men, Iaaf
- 12- Rogers, Joseph L. (2000): USA track & field coaching manual. Human Kinetics.
- 13- Simonian, C. (1981): Fundamentals of sports biomechanics, frenticehal Co, New Gersey.
- 16- Walker, J. (1992): Triple Jump Ideas, Track and Field Quarterly Review, Vol.42, winter.
- 17- Wells, K. & Lutgens, K. (1976): Kinesiology scientific basis of human the sounders Co, Philadelphia, Metiony